

# ロック材の応力・ひずみ関係について

山口大学工学部 正員 三浦哲彦  
山口大学大学院 学生員 山本紀之

## 1. まえがき

土の応力～ひずみ関係を知ることは、土質工学上の重要な課題の一つであり、合理的かつ実用的な応力～ひずみ理論の出現が目たれている。すでに提案されている応力～ひずみ理論の一つに、限界状態の概念に基づく Reesee の理論<sup>1)</sup>がある。この理論は、通常の圧力下の正規圧密、または軽く過圧密された粘土によく適合する理論である。さて、高圧下のロック材の力学的特性には、次のような特徴が見られる：a). ある値を超えた拘束圧下では、ロック材は、せん断中に体積膨張をきたさなくなり、また、応力～ひずみ曲線は、ピークを示さない。；b). e～lnP 曲線は、ある圧力（圧密降伏応力）付近で、急にその勾配を変えるが、これは、粒子破碎に起因する不可逆的な間隙比変化を意味する。これら二つの実験事実は、通常圧力下での粘土の特徴とよく似ている。もし、高圧下のロック材の挙動と、通常圧力下の粘土の挙動に一貫した対応性があるならば、Reesee の理論によって、高圧下のロック材の応力～ひずみ関係を予測し得るかもしれない。本研究では、このような観点から、Reesee の応力～ひずみ理論を、高圧下のロック材に適用しようと試みたものである。なお、上述のことと、同様な考え方に基づいて、高圧下の砂の応力～ひずみ挙動を、おおむね予測できることを、先の研究で明らかにされている。

## 2. 材料定数 $\lambda$ , $K$ , 及び $M$

Reesee らは、土の応力～ひずみを導びくにあたり、3つの材料定数  $\lambda$ ,  $K$ , 及び  $M$  を導入した。<sup>1)</sup> これらの材料定数は、次のようにして求めることができます。すなわち、土の圧密試験結果を  $e$ ～ $\ln P$  平面上にプロットする。

このとき、圧密降伏応力点を折れ点とする二本の直線が得られる。圧密降伏応力より低い圧力域の直線は、粘土の過圧密曲線（膨張曲線）に相当し、その傾きを  $K$  となる。圧密降伏応力以上の圧力域にある直線は、粘土の正規圧密曲線に相当し、その傾きが  $\lambda$  となる（図1）。また限界状態とみられるロック材の平均有効主応力  $P'$  ( $= (\sigma' + 2\sigma_3)/3$ ) と、軸差応力  $\sigma_3$  ( $= \sigma_1 - \sigma_3$ ) の關係を  $P'$  ～  $\sigma_3$  平面上にプロットすると、原点を通る直線が描かれる。その直線の傾きを  $M$  とする（図2）。なお、本研究では、千種類のロック材について検討しているが、これらの材料の高圧三軸せん断試験、及び高圧圧密試験の結果は、文献3), 4) より引用したものである。これらのロック材の材料定数を表1に示す。三つの材料定数のうち、 $\lambda$ ,  $K$ ,  $M$  については、そのロック材に、十分な粒子破碎が生じているような圧力域においてのみ、正しく求められると考えられる。

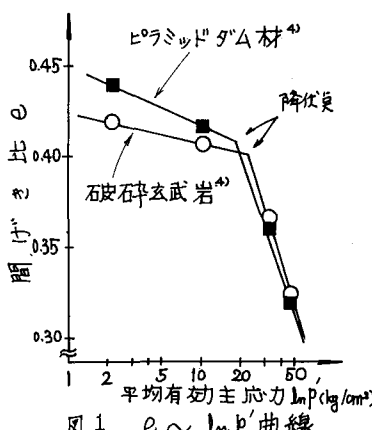


図1  $e$ ～ $\ln P'$  曲線

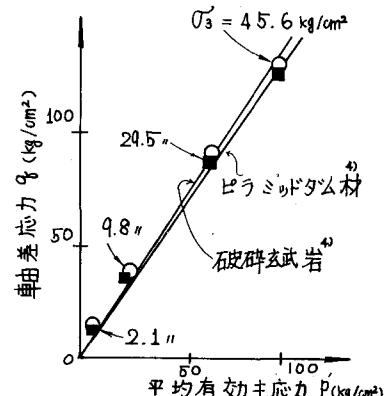


図2 限界状態線

表1. 各ロック材の材料定数

材料名	$\lambda$	$K$	$M$
緑色片岩	0.140	0.0036	1.57
破碎玄武岩 <sup>4)</sup>	0.078	0.014	1.51
ピラミッドダム材 <sup>4)</sup>	0.044	0.013	1.44
オロビュダム材 <sup>4)</sup>	0.041	0.004	1.49

### 3. 応力へひずみ関係

Recece らが導いた Cam-clay 式<sup>1)</sup>及びその修正式<sup>2)</sup>は、せん断ひずみと、体積ひずみひさしを、排水せん断試験に對して、次のように表している。

Cam-clay 式：

$$\epsilon(\sigma) = \frac{100(\alpha-k)}{C(1+\epsilon)} \left\{ \frac{1}{3-M} \ln \left( \frac{3-\eta}{M-\eta} \right) - \frac{1}{M} \ln(M-\eta) + C_1 \right\} \quad (1)$$

$$\eta(\sigma) = \frac{100}{1+\epsilon} \left\{ \frac{\alpha-k}{M} \eta - 2 \ln(3-\eta) + C_2 \right\} \quad (2)$$

修正式：

$$\epsilon(\sigma) = \frac{200(\alpha-k)}{1+\epsilon} \left\{ \frac{3}{2M(3+M)} \ln(M+\eta) - \frac{3}{2M(3-M)} \ln(M-\eta) - \frac{1}{M} \tan \left( \frac{\pi}{M} \right) + \frac{3}{9-M^2} \ln(3-\eta) + C_3 \right\} \quad (3)$$

$$\eta(\sigma) = \frac{100}{1+\epsilon} \left\{ (\alpha-k) \ln(M^2+\eta^2) - 2 \ln(3-\eta) + C_4 \right\} \quad (4)$$

ここに  $\eta$  は応力比 ( $= \sigma / \sigma'$ )、 $\epsilon$  は等方圧密後の間隔比である。また、積分定数  $C$  は、正規圧密状態では、 $\eta = 0$  で  $\epsilon = \eta = 0$  の条件より求める。

過圧密状態にあるロック材の応力へひずみ関係については、前と同様、排水せん断試験の場合と差えて、弾性域では、

$$\epsilon = 0, \quad \eta = \eta' = \frac{k}{1+\epsilon} \ln \left( \frac{3}{3-\eta'} \right) \quad (5)$$

また、弾塑性域の応力へひずみ関係は、(1)～(4)式によて与えられるものとする。ただし、積分定数  $C$  は、降伏曲面に達したときの  $\eta$  の値  $\eta_y$  を(6)式で求め、この値を(1)～(4)式へ代入し、その時、 $\epsilon = 0, \eta = \eta'(\eta_y)$  の条件より決定する。

$$\left. \begin{aligned} \eta_y &= 3(\eta' - \eta_3)/\eta' \\ \eta_y &= M \ln(P_0/P'_y) \cdots \text{Cam-clay 式} \\ P'_y/P_0 &= M^2/(M^2 + \eta_y^2) \cdots \text{修正式} \end{aligned} \right\} \quad (6)$$

ここに、 $P_0$  は、材料の圧密降伏応力である。

このようにして求めた応力へひずみ理論曲線と、実測値とを比較したものが、図3、図4である。図3では正規圧密状態のロック材を、図4では過圧密領域でのロック材の応力へひずみ関係を示した。軸ひずみ  $\epsilon_1 (= \epsilon + (\eta/3))$  ～軸差応力  $\sigma_1$  の関係を示す。

Cam-clay 式は、軸差応力を對し、軸ひずみ  $\epsilon_1$  を過大評価する傾向が強い。これに対し、修正式は、せん断ひずみを過少評価し、せん断ひずみが大きくなるといずみを過大評価する傾向がある。ここでは、修正式の方がより適合性に富んでいると思われる。全く同様なこと、応力へ体積ひずみ、せん断ひずみの間にもみられた。次に、軸ひずみ  $\epsilon_1$  ～体積ひずみ  $\eta_1$  の関係を見ると、Cam-clay 式の方が適合性に富んでいるようであるが、これは、Cam-clay 式が、 $\epsilon_1, \eta_1$  を共に過大評価するために生じた偶然の結果であると思われる。また、過圧密状態のロック材の理論曲線は、降伏点に達するまでは、せん断ひずみを無視しているため、不自然な形となっている。この仮定には、再検討の余地がありそうだ。以上の結果から高圧下のロック材に、Recece らの理論を適用することは、大筋において可能であると言えよう。

文献) 1) Recece et al; Engineering Plasticity, 1968 2) 三浦：土木学会論文報告集 No.282, 1979

3) 九電総合研究所土木研究室；第9回材料試験に関する報告検討会資料(その1, その2), 1978

4) N. D. Marachi et al; Geotechnical Engineering Report No. TE 69-5, 1969

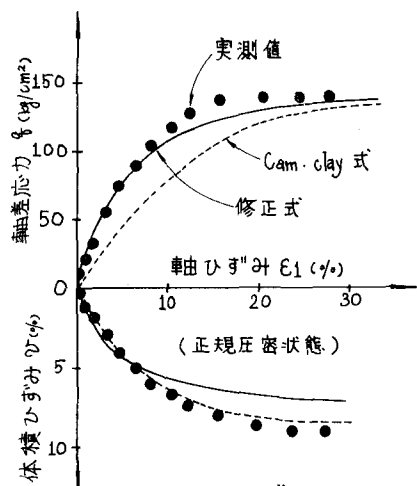


図3. 破碎玄武岩<sup>4)</sup>  
応力へひずみ曲線

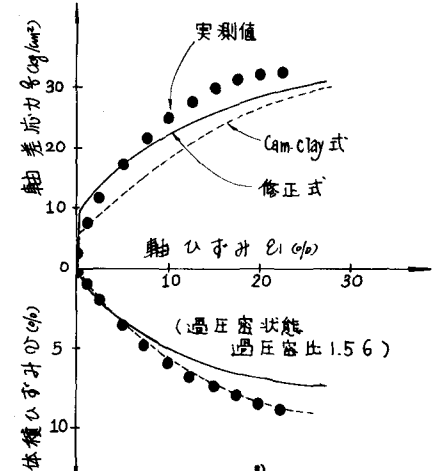


図4. 緑色片岩<sup>4)</sup>  
応力へひずみ曲線